

УДК 621.315.592

## ВЛИЯНИЕ ФТОРА НА МИКРОСТРУКТУРУ И ЭЛЕКТРОФИЗИЧЕСКИЕ СВОЙСТВА КЕРАМИКИ НА ОСНОВЕ ТИТАНАТА БАРИЯ

© 2007 г. О. И. Выонов\*, А. Г. Белоус\*, Л. Л. Коваленко\*, В. Ф. Зинченко\*\*, Е. В. Тимухин\*\*

\*Институт общей и неорганической химии им. В.И.Вернадского Национальной академии наук Украины, Киев

\*\*Физико-химический институт им. А.В. Богатского Национальной академии наук Украины, Одесса

Поступила в редакцию 20.02.2007 г.

Методами термогравиметрического, рентгенофазового анализа, электронной микроскопии, спектроскопии комплексного импеданса и диффузного отражения исследованы электрофизические свойства  $\text{BaTiO}_3$  с частичным замещением кислорода фтором. Установлено, что частичное замещение кислорода фтором влияет на концентрационную область гетеровалентного замещения бария лантаном, в пределах которой возникает эффект положительного температурного коэффициента сопротивления.

### ВВЕДЕНИЕ

Сегнетоэлектрики-полупроводники на основе титаната бария, широко используемые для изготовления материалов с положительным температурным коэффициентом сопротивления (ПТКС), получают путем частичного гетеровалентного замещения в одной из катионных подрешеток. В качестве ионов, замещающих титан, могут использоваться ионы пятой группы (например,  $\text{Nb}^{5+}$ ,  $\text{Ta}^{5+}$ , ...) [1, 2], а замещающих барий –  $\text{Y}^{3+}$ ,  $\text{La}^{3+}$ , ионы некоторых лантаноидов [3, 4]. Редкоземельные ионы, имеющие относительно малый ионный радиус ( $\text{Y}$ ,  $\text{Dy}$ – $\text{Ho}$ ), могут замещать как ионы бария, так и титана, в то время как ионы с большим ионным радиусом по стерическим требованиям предпочтительнее замещают ионы бария [5, 6]. Проводящая форма титаната бария, легированная ионами редкоземельных элементов, например лантана, при высокой температуре, может быть представлена химической формулой  $\text{Ba}_{1-x}\text{La}_x\text{Ti}_{1-x}\text{Ti}_x^{3+}\text{O}_3$  [7].

Свойства  $\text{BaTiO}_3$  с замещением ионов бария ионами лантана, который характеризуется эффектом ПТКС, изучали в ряде работ [8–10]. ПТКС-эффект в значительной степени зависит от характеристик потенциального барьера на границах зерен. В соответствии с моделью Хеванга на границе зерен формируется потенциальный барьер, высота которого уменьшается в сегнетоэлектрической области температур из-за внутренних полей, обусловленных спонтанной поляризацией [11]. Потенциальный барьер возникает из-за акцепторных уровней на границах зерен, которые формируются акцепторными примесями (например, 3d-металлов [12]), сорбированным кислородом [13, 14] и катионными вакансиями [15, 16]. На характеристики потенциально барь-

ра существенное влияние оказывает атмосфера спекания [17]. Исследование фторсодержащего титаната бария без донорных добавок показало, что спекание в галогенсодержащей атмосфере сопровождается процессами сорбции на границах зерен, при этом фтор действует как акцепторная добавка [13, 18]. Фтор из газовой среды входит также в структуру титаната бария в позиции кислорода и действует как донорная добавка [19]. При этом влияние фтора проявляется только в случае последующей термообработки на воздухе (реокисление), которая способствует возникновению эффекта ПТКС [20]. В то же время введение фтора в структуру титаната бария из фторсодержащего реагента позволяет надеяться, что фтор будет входить только в кристаллическую структуру. В литературе мало данных о введении донорных добавок одновременно в катионную и анионную подрешетки.

Целью данной работы явился синтез и исследование влияния фтора на свойства полупроводников-сегнетоэлектриков на основе титаната бария с частичным гетеровалентным замещением ионов бария ионами лантана.

### МЕТОДИКА ЭКСПЕРИМЕНТА

В качестве исходных реагентов использовали  $\text{BaCO}_3$ ,  $\text{TiO}_2$ ,  $\text{La}_2\text{O}_3$  “ос. ч.”,  $\text{LaF}_3$  “х.ч.”. Фазовые превращения изучали методом термогравиметрии на приборе типа Q-1000 ОД-102, скорость нагревания 10 град/мин. Полученные продукты идентифицировали рентгенографическим методом по дифрактограммам порошков, снятым на установке ДРОН-4-07 ( $\text{CuK}_\alpha$ -излучение). Параметры элементарной ячейки определяли методом полнопрофильного анализа Ритвельда. Спектры диффузного отражения поликристаллических образцов (порош-

Кристаллографические параметры керамики  $(\text{Ba}_{1-x}\text{La}_x)\text{Ti}(\text{O}_{1-x}\text{F}_x)_3$  в зависимости от номинального содержания добавки ( $x$ )

$x$	0.0005	0.001	0.0025	0.003	0.004	0.005
$a, \text{\AA}$	3.9925(2)	3.9932(2)	3.9942(3)	3.9937(2)	3.9938(2)	3.9947(3)
$c, \text{\AA}$	4.0341(2)	4.0342(2)	4.0318(3)	4.0324(2)	4.0308(2)	4.0282(3)
$V, \text{\AA}^3$	64.302(6)	64.329(6)	64.321(7)	64.315(6)	64.293(6)	64.280(8)
$c/a$	1.0104	1.0103	1.0094	1.0097	1.0093	1.0084
Ba/La $z$	0.536(4)	0.533(4)	0.528(6)	0.49(1)	0.50(3)	0.478(7)
O1 $z$	0.496(9)	0.471(9)	0.534(9)	0.54(1)	0.52(3)	0.52(2)
O2 $z$	0.05(2)	0.04(3)	0.06(1)	0.02(2)	0.02(3)	-0.02(2)
$R_B, \%$	5.72	6.87	4.18	4.42	4.64	4.66
$R_f, \%$	4.56	6.05	3.40	3.61	3.35	3.56

ков) записывали на спектрофотометре Lambda-9 (Perkin-Elmer) в ультрафиолетовом (200–400 нм) и видимом (400–800 нм) диапазонах, образцом сравнения служил тонкодисперсный MgO. Измерялись спектральные зависимости  $F(R) = f(\lambda)$ , где  $F(R)$  – функция Кубелки-Мунка, определяемая соотношением:  $F(R) = (1 - R)^2/2R = k/s$ , где  $R$  – относительное отражение,  $k$  и  $s$  – коэффициенты поглощения и рассеяния, соответственно.

Для исследования электрофизических свойств использовали образцы, синтезированные при температурах 1340–1360°C на воздухе. Омические контакты получали вжиганием алюминиевой пасты. Размеры зерен керамики определяли с помощью рентгеновского микроанализатора JCXA Superprobe 733 (JEOL, Япония). Для проведения импедансных исследований в диапазоне 100 Гц – 1 МГц использовали анализатор импеданса PGSTAT-30 (Solartron), а в диапазоне 50 кГц – 35 МГц – изме-

ритель добротности ВМ-560. Определение электрической эквивалентной схемы и значений ее компонентов проводили при помощи компьютерной программы Frequency Responce Analyser 4.7.

## РЕЗУЛЬТАТЫ И ИХ ОБСУЖДЕНИЕ

Рентгеновские исследования показали, что керамические образцы  $(\text{Ba}_{1-x}\text{La}_x)\text{TiO}_3$  и  $(\text{Ba}_{1-x}\text{La}_x)\text{Ti}(\text{O}_{1-x}\text{F}_x)_3$  являются однофазными и имеют тетрагональную симметрию. По мере увеличения содержания добавки фторида лантана тетрагональное искажение ( $c/a$ ) уменьшается (таблица). В качестве начального приближения при уточнении структурных параметров образцов в пр.гр.  $P4mm$  методом полнопрофильного анализа использовались данные работы [21]. Полученные значения объема элементарной ячейки ( $V$ ) показаны на рис. 1. Как видно из представленных данных, в обоих случаях зависимость  $V(x)$  проходит через максимум, причем величина максимума существенно больше ошибки эксперимента. Наличие этого максимума можно объяснить изменением в точке максимума механизма компенсации заряда добавки [22]. В частности, увеличение объема элементарной ячейки можно связать с образованием в твердых растворах ионов  $\text{Ti}^{3+}$ , количество которых уменьшается при отклонении значения  $x$  в большую либо меньшую сторону от значения, при котором наблюдается максимум на зависимости  $V(x)$ .

Дополнительным подтверждением появления восстановленной формы ионов титана в исследуемых образцах служат спектры диффузного отражения (рис. 2). Спектр диффузного отражения легированных образцов титаната бария в ультрафиолетовом диапазоне содержит интенсивные бесструктурные полосы с максимумом в области 300 нм (рис. 2a) отвечающие электронному переносу заряда  $\text{O}^{2-} \rightarrow \text{Ti}^{4+}$  [23, 24]. В то же время в

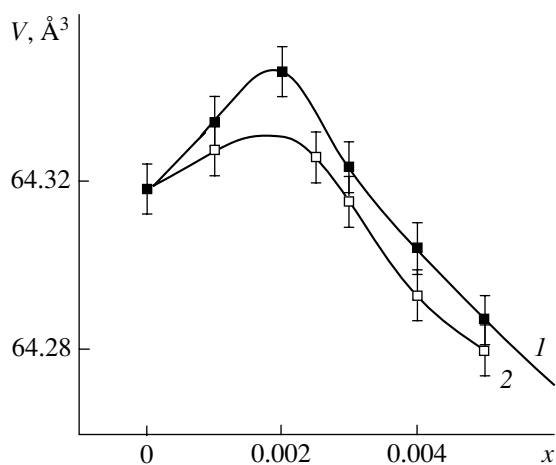
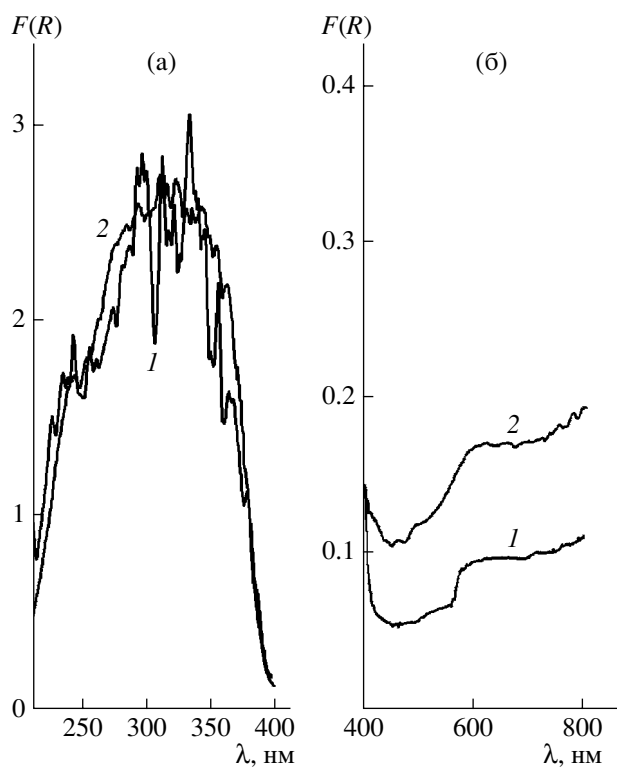


Рис. 1. Зависимости объема элементарной ячейки керамики  $(\text{Ba}_{1-x}\text{La}_x)\text{TiO}_3$  (1) и  $(\text{Ba}_{1-x}\text{La}_x)\text{Ti}(\text{O}_{1-x}\text{F}_x)_3$  (2) от содержания добавок.



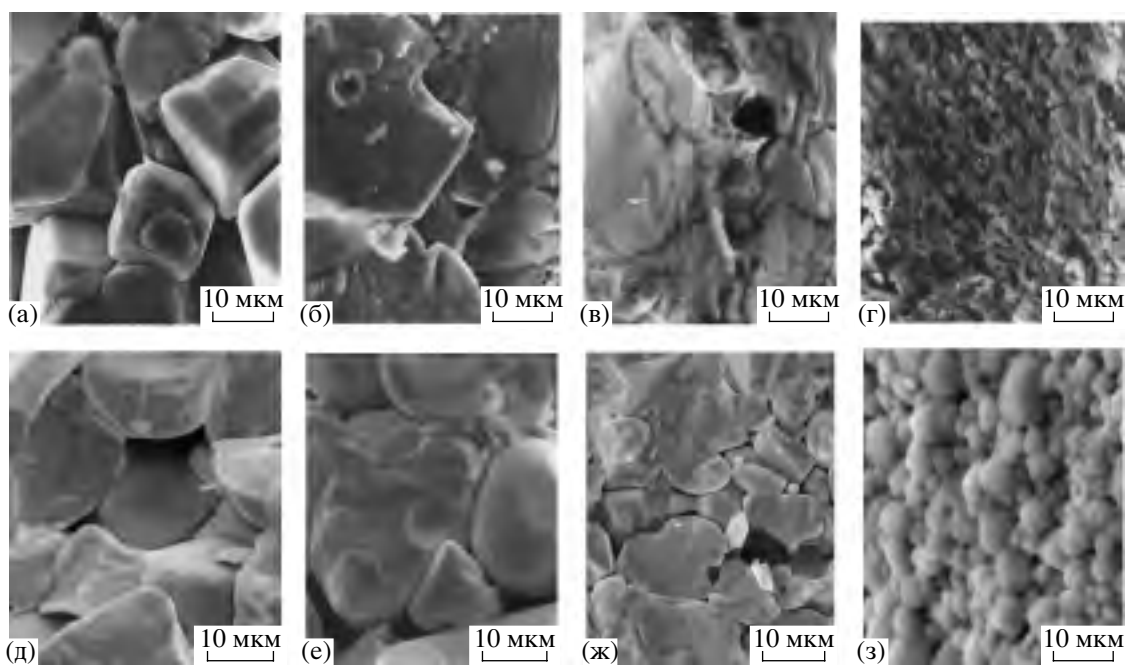
**Рис. 2.** Спектры диффузного отражения поликристаллических образцов  $(\text{Ba}_{1-x}\text{La}_x)\text{TiO}_3$  (1) с  $x = 0.002$  и  $(\text{Ba}_{1-x}\text{La}_x)\text{Ti}(\text{O}_{1-x}\text{F}_x)_3$  (2) с  $x = 0.0025$  в ультрафиолетовом (а) и видимом (б) диапазонах спектра.

видимом диапазоне на спектрах образцов  $\text{BaTiO}_3$ , содержащих добавки  $\text{La}_2\text{O}_3$  и  $\text{LaF}_3$ , появляется выраженная полоса поглощения (рис. 2б) с размытым максимумом при 500–600 нм. Эта полоса связана с внутрицентровыми  $3d$ - $3d$ -электронными переходами в ионах  $\text{Ti}^{3+}$ , возникающих при гетеровалентном замещении [23, 24]. Относительная интенсивность спектральных кривых указывает на более высокую концентрацию ионов  $\text{Ti}^{3+}$  в случае введения добавки  $\text{LaF}_3$  по сравнению с  $\text{La}_2\text{O}_3$ .

Исследования микроструктуры керамики  $(\text{Ba}_{1-x}\text{La}_x)\text{TiO}_3$  и  $(\text{Ba}_{1-x}\text{La}_x)\text{Ti}(\text{O}_{1-x}\text{F}_x)_3$  (рис. 3) показали, что в обоих случаях при  $x \leq 0.002$  керамика является крупнозернистой, что обусловлено аномальным ростом зерен [25]. Из зависимости среднего размера зерен от содержания введенной добавки (рис. 4) видно, что во всем исследованном диапазоне значений  $x$  при одинаковой концентрации лантана фторсодержащая керамика является более крупнозернистой по сравнению с керамикой без фтора.

Исследования температурных зависимостей удельного сопротивления керамики  $(\text{Ba}_{1-x}\text{La}_x)\text{TiO}_3$  и  $(\text{Ba}_{1-x}\text{La}_x)\text{Ti}(\text{O}_{1-x}\text{F}_x)_3$  (рис. 5) показывают, что в  $(\text{Ba}_{1-x}\text{La}_x)\text{Ti}(\text{O}_{1-x}\text{F}_x)_3$  эффект ПТКС наблюдается в более широком концентрационном диапазоне по сравнению с  $(\text{Ba}_{1-x}\text{La}_x)\text{TiO}_3$ .

Низкие значения удельного сопротивления при комнатной температуре в керамике  $(\text{Ba}_{1-x}\text{La}_x)\text{Ti}(\text{O}_{1-x}\text{F}_x)_3$  наблюдаются в более широком диапазоне концентраций добавки лантана по сравнению с керамикой  $(\text{Ba}_{1-x}\text{La}_x)\text{TiO}_3$ . Так, кера-



**Рис. 3.** Микроструктура керамики  $(\text{Ba}_{1-x}\text{La}_x)\text{TiO}_3$ , где  $x = 0$  (а), 0.001 (б), 0.002 (в), 0.003 (г) и  $(\text{Ba}_{1-x}\text{La}_x)\text{Ti}(\text{O}_{1-x}\text{F}_x)_3$ , где  $x = 0.0005$  (д), 0.001 (ж), 0.002 (з) и 0.003 (ж).

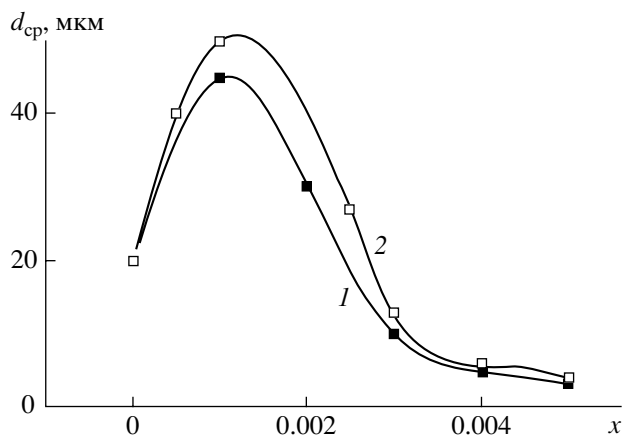


Рис. 4. Зависимости среднего размера частиц керамики  $(\text{Ba}_{1-x}\text{La}_x)\text{TiO}_3$  (1) и  $(\text{Ba}_{1-x}\text{La}_x)\text{Ti}(\text{O}_{1-x}\text{F}_x)_3$  (2) от содержания добавок.

мика  $(\text{Ba}_{1-x}\text{La}_x)\text{TiO}_3$  имеет при 20°C удельное сопротивление  $< 10^3$  Ом см в диапазоне  $0.001 < x < 0.002$ , в то время как керамика  $(\text{Ba}_{1-x}\text{La}_x)\text{Ti}(\text{O}_{1-x}\text{F}_x)_3$  – в более широком диапазоне  $0.0006 < x < 0.005$  (рис. 6а). Введение фтора в подрешетку кислорода приводит также к расширению диапазона концентраций лантана, в котором наблюдаются высокие значения кратности изменения удельного сопротивления  $\rho_{\max}/\rho_{\min}$  (рис. 6б).

Известно, что сегнетоэлектрическая-полупроводниковая керамика на основе титаната бария содержит несколько областей, отличающихся по электрическим характеристикам: объем зерен, границы зерен и слой зерен, располагающийся между их границей и объемом [26]. Для выяснения влияния фтора на проводимость этих областей были проведены исследования методом комплексного импеданса.

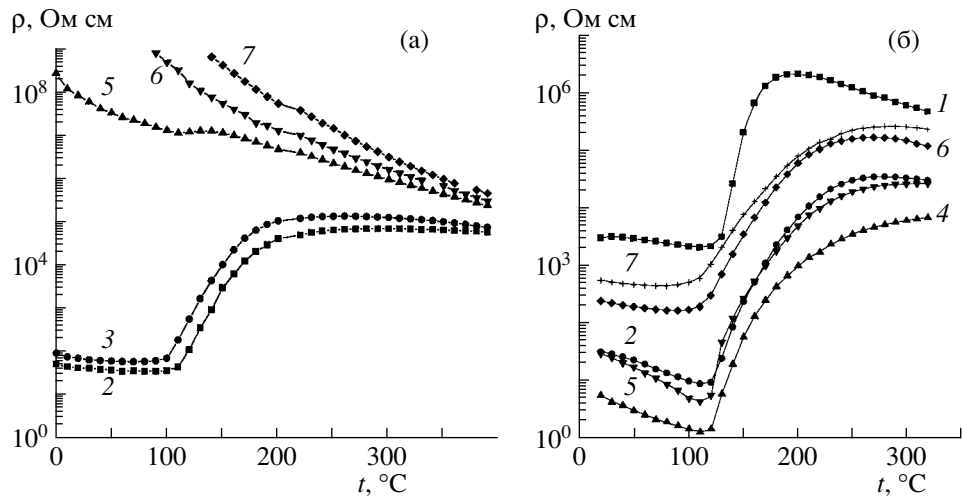


Рис. 5. Температурные зависимости удельного сопротивления керамики  $(\text{Ba}_{1-x}\text{La}_x)\text{TiO}_3$  (а) и  $(\text{Ba}_{1-x}\text{La}_x)\text{Ti}(\text{O}_{1-x}\text{F}_x)_3$  (б):  $x = 0.0005$  (1), 0.001 (2), 0.002 (3), 0.0025 (4), 0.003 (5), 0.004 (6) и 0.005 (7).

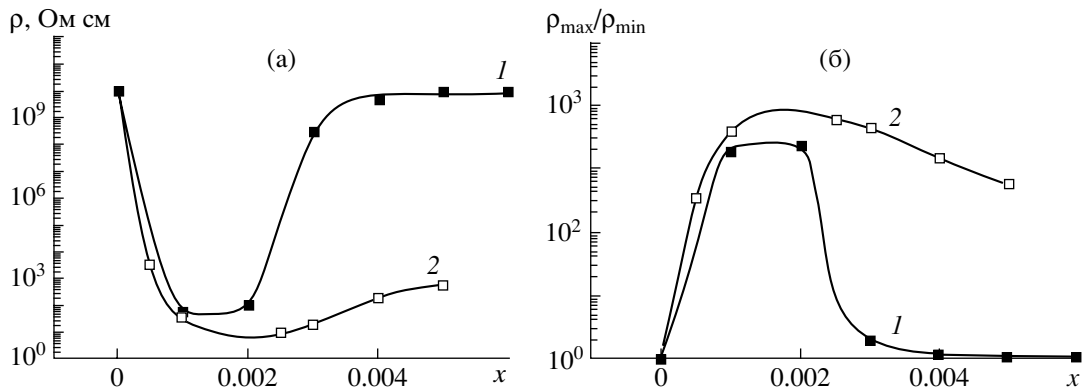
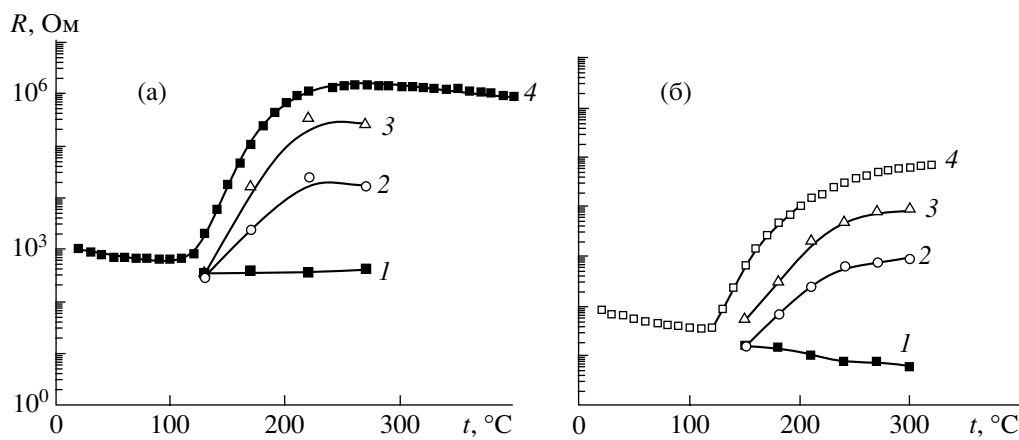


Рис. 6. Зависимости удельного сопротивления при 20°C (а) и кратности изменения сопротивления (б) керамики  $(\text{Ba}_{1-x}\text{La}_x)\text{TiO}_3$  (1) и  $(\text{Ba}_{1-x}\text{La}_x)\text{Ti}(\text{O}_{1-x}\text{F}_x)_3$  (2) от содержания добавок.



**Рис. 7.** Температурные зависимости сопротивления объема зерен (1), внешнего слоя зерен (2), границ зерен (3) и суммарного сопротивления (4) керамики  $(\text{Ba}_{1-x}\text{La}_x)\text{TiO}_3$  с  $x = 0.002$  (а) и  $(\text{Ba}_{1-x}\text{La}_x)\text{Ti}(\text{O}_{1-x}\text{F}_x)_3$  с  $x = 0.0025$  (б).

Для исследований были выбраны образцы с близкими значениями средних размеров зерен  $d \approx 25$  мкм (см. рис. 4). Результаты исследования электрических характеристик зерен керамики  $(\text{Ba}_{1-x}\text{La}_x)\text{TiO}_3$  с  $x = 0.002$  и  $(\text{Ba}_{1-x}\text{La}_x)\text{Ti}(\text{O}_{1-x}\text{F}_x)_3$  с  $x = 0.0025$  представлены на рис. 7. Как видно, при температурах ниже температуры фазового перехода (около 120°C) сопротивление керамики преимущественно определяется сопротивлением объема зерен в обоих типах твердых растворов. Частичное замещение кислорода фтором в легированном титанате бария приводит к уменьшению сопротивления объема зерен керамики.

## ЗАКЛЮЧЕНИЕ

Легированная керамика на основе титаната бария  $(\text{Ba}_{1-x}\text{La}_x)\text{TiO}_3$  и  $(\text{Ba}_{1-x}\text{La}_x)\text{Ti}(\text{O}_{1-x}\text{F}_x)_3$  ( $x < 0.005$ ) при комнатной температуре обладает тетрагональной симметрией элементарной ячейки, объем которой с увеличением  $x$  проходит через максимум. Увеличение объема элементарной ячейки объясняется образованием ионов  $\text{Ti}^{3+}$ , присутствие которых в исследованных сегнетоэлектриках-полупроводниках подтверждается спектрами диффузного отражения. Введение в титанат бария фторида лантана расширяет концентрационную область, в пределах которой возникает ПТКС-эффект, приводит к уменьшению сопротивления объема зерен керамики.

## СПИСОК ЛИТЕРАТУРЫ

1. Ротенберг Б.А., Данилюк Ю.Л. О природе полупроводниковых свойств титаната бария с добавками // Изв. АН СССР. Сер. физ. 1967. Т. 31. № 11. С. 1824–1827.
2. Belous A.G., V'yunov O.I., Khomenko B.S. Microstructure and Semiconducting Properties of Barium Titanate Containing Heterovalent Substituents on the Titanium Site // Inorg. Mater. 1998. V. 34. № 6. P. 725–729.
3. Saburi O. Properties of Semiconductive Barium Titanates // J. Phys. Soc. Jpn. 1959. V. 14. P. 1159–1174.
4. Tennery V.J., Cook R.L. Investigation of Rare-earth Doped Barium Titanate // J. Am. Ceram. Soc. 1961. V. 44. № 4. P. 187–193.
5. Xue L.A., Chen Y., Brook R.J. The Influence of Ionic Radii on the Incorporation of Trivalent Dopants into  $\text{BaTiO}_3$  // Mater. Sci Eng., B. 1988. V. 1. P. 193–201.
6. Belous A.G., V'yunov O.I., Yanchevskii O.Z., Kovalenko L.L. Thermodynamic and Experimental Investigation of the Effect of Rare-Earth Ions ( $\text{Ln}^{3+}$ ) Nature on the Pistor Properties of  $\text{Ba}_{1-x}\text{Ln}_x^{3+}\text{TiO}_3$  // Key Eng. Mater. 1997. V. 132–136. Part 1. P. 1313–1316.
7. Полупроводники на основе титаната бария / Пер. с яп. Реута И.Б. М.: Энергоиздат, 1982. 325 с.
8. Iguchi E., Kubota N., Nakamori T. et al. Polaronic Conduction in *n*-Type  $\text{BaTiO}_3$  Doped with  $\text{La}_2\text{O}_3$  or  $\text{Gd}_2\text{O}_3$  // Phys. Rev. B. 1991. V 43. № 10. P. 8646–8649.
9. Urek S., Drofenik M. PTCR Behaviour of Highly Donor Doped  $\text{BaTiO}_3$  // J. Eur. Ceram. Soc. 1999. V. 19. P. 913–916.
10. Morrison F.D., Sinclair D.C., West A.R. Doping Mechanisms and Electrical Properties of La-Doped  $\text{BaTiO}_3$  // Int. J. Inorg. Mater. 2001. V. 3. P. 1205–1210.
11. Heywang W. Barium Titanate as a Semiconductor with Blocking Layers // Solid State Electron. 1961. V. 3. № 1. P. 51–58.
12. Ueoka H. The Doping Effects of Transition Elements on the PTC Anomaly of Semiconductive Ferroelectric Ceramics // Ferroelectrics. 1974. V. 7. P. 351.
13. Jonker G.H. Halogen Treatment of Barium Titanate Semiconductors // Mater. Res. Bull. 1967. V. 2. P. 401–407.
14. Igarashi H., Hayakawa S., Okazaki K. PTC Behavior of Semiconductive Ceramics Under Reduced Atmosphere // J. Jpn. Appl. Phys. 1981. V. 20. P. 135–38.
15. Daniels J., Hardtl K.H., Wernicke R. The PTC Effect of Barium Titanate // Phil. Tech. Rev. 1978. V. 38. № 3. P. 73–82.
16. Lewis G.V., Catlow C.R.A. Defect Studies of Doped and Undoped Barium Titanate Using Computer Simulation

- Techniques // J. Phys. Chem. Solids. 1986. V. 47. № 1. P. 89–97.
17. Ashida T., Toyoda H. The Effect of Additives and of Ambient Atmosphere During Heating on the Electrical Resistivity of Semiconducting BaTiO<sub>3</sub> // Jpn. J. Appl. Phys. 1966. V. 5. P. 269–274.
  18. Alles A.B., Amaral V.R., Burdick V.L. Positive Temperature Coefficient of Resistivity Effect in Undoped, Atmospherically Reduced Barium Titanate // J. Am. Ceram. Soc. 1989. V. 72. № 1. P. 148–153.
  19. Endo T., Kobayashi T., Sato T., Shimada M. High Pressure Synthesis and Electrical Properties of BaTiO<sub>3-x</sub>F<sub>x</sub> // J. Mater. Sci. 1990. V. 25 № 1B. P. 619–623.
  20. Ul N., Makovec D., Drofenik M. Electrical Properties of Undoped BaTiO<sub>3</sub> Ceramics Annealed in a Fluorine Containing Atmosphere // J. Eur. Ceram. Soc. 2001. V. 21. P. 1899–1903.
  21. Evans H.T. An X-ray Diffraction Study of Tetragonal Barium Titanate // Acta Crystallogr. 1961. № 14. P. 1019–1026.
  22. Makovec D., Drofenik M. Microstructural Changes during the Reduction/Reoxidation Process in Donor-Doped BaTiO<sub>3</sub> Ceramics // J. Am. Ceram. Soc. 2000. V. 83. № 10. P. 2593–2599.
  23. Свиридов Д.Т., Свиридова Р.К., Смирнов Ю.Ф. Оптические спектры ионов переходных металлов в кристаллах. М.: Наука, 1976. 226 с.
  24. Зинченко В.Ф., Ефюшина Н.П., Кочерба Г.И. и др. Разработка материалов для нанесения покрытий оптических деталей лазеров для видимого и ближнего ИК-диапазонов спектра // Опт. журн. 2006. Т. 73. № 12. С. 78–81.
  25. Drofenik M. Initial Specific Surface Area and Grain Growth in Donor-Doped Barium Titanate // J. Am. Ceram. Soc. 1990. V. 73. № 6. P. 1587–1592.
  26. Morrison F.D., Sinclair D.C., West A.R. Characterization of Lanthanum-Doped Barium Titanate Ceramics Using Impedance Spectroscopy // J. Am. Ceram. Soc. 2001. V. 84. № 3. P. 531–538.